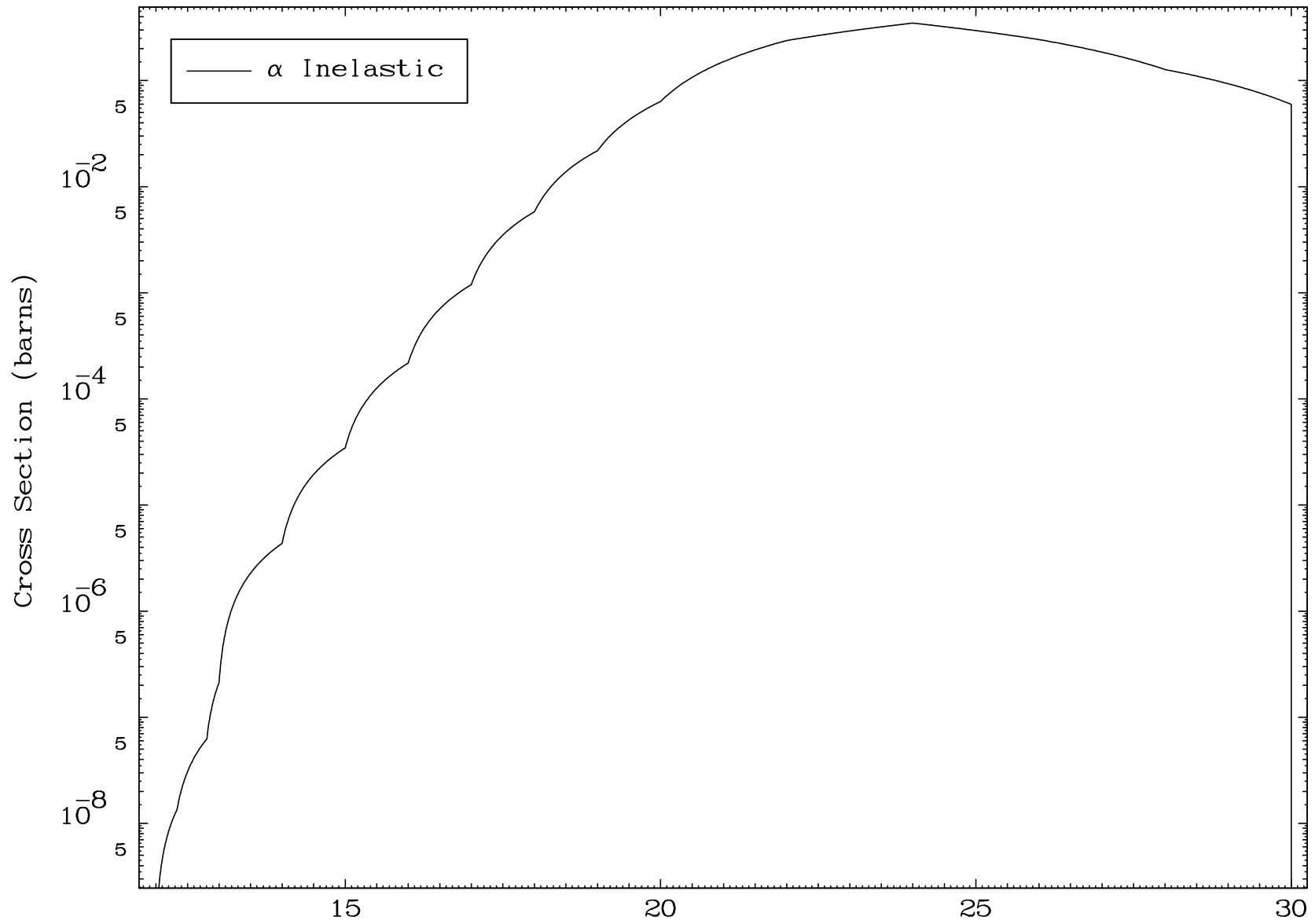


MAT 7898

(α, n') Level
0 Kelvin Cross Sections

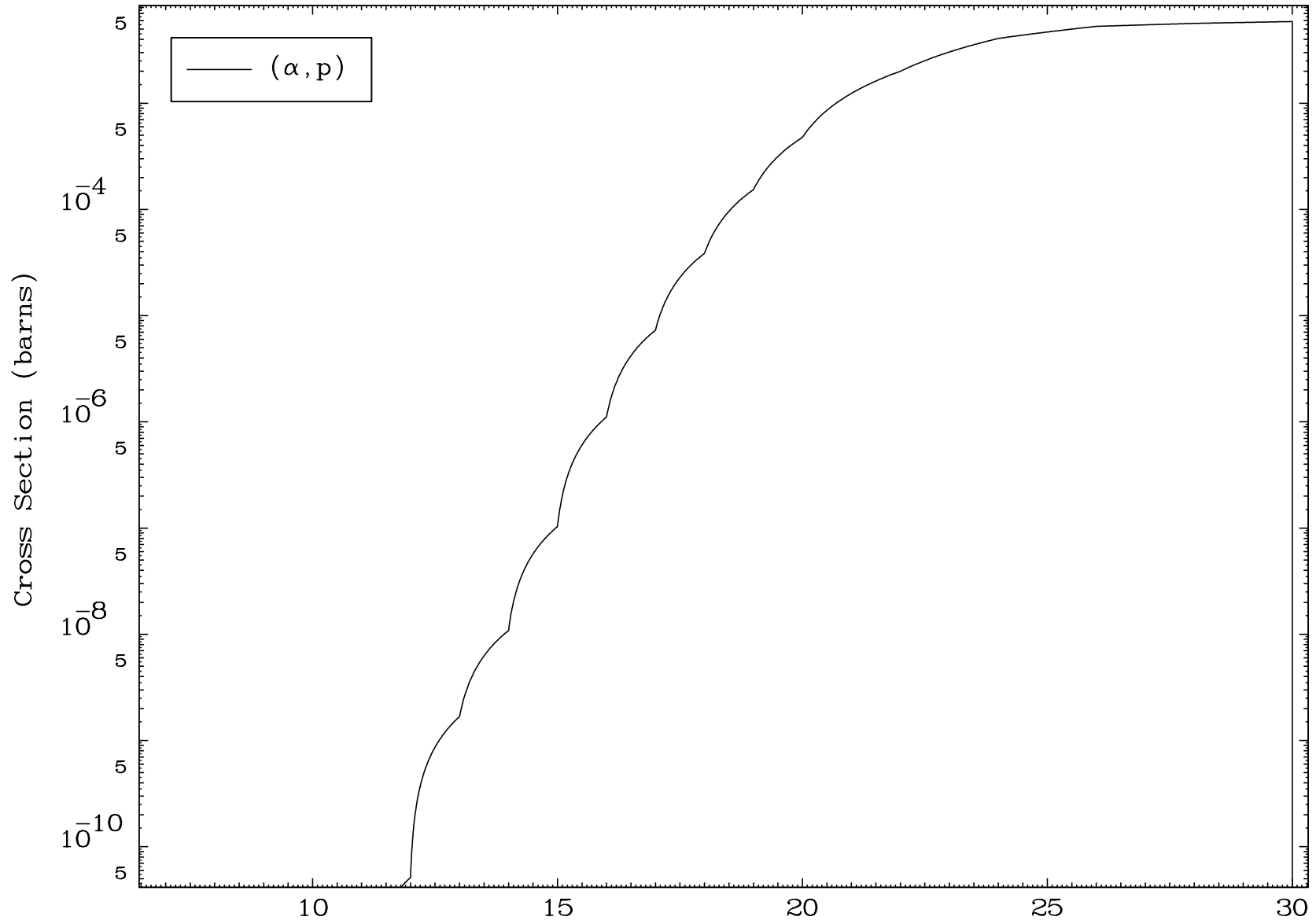
79-Au-188

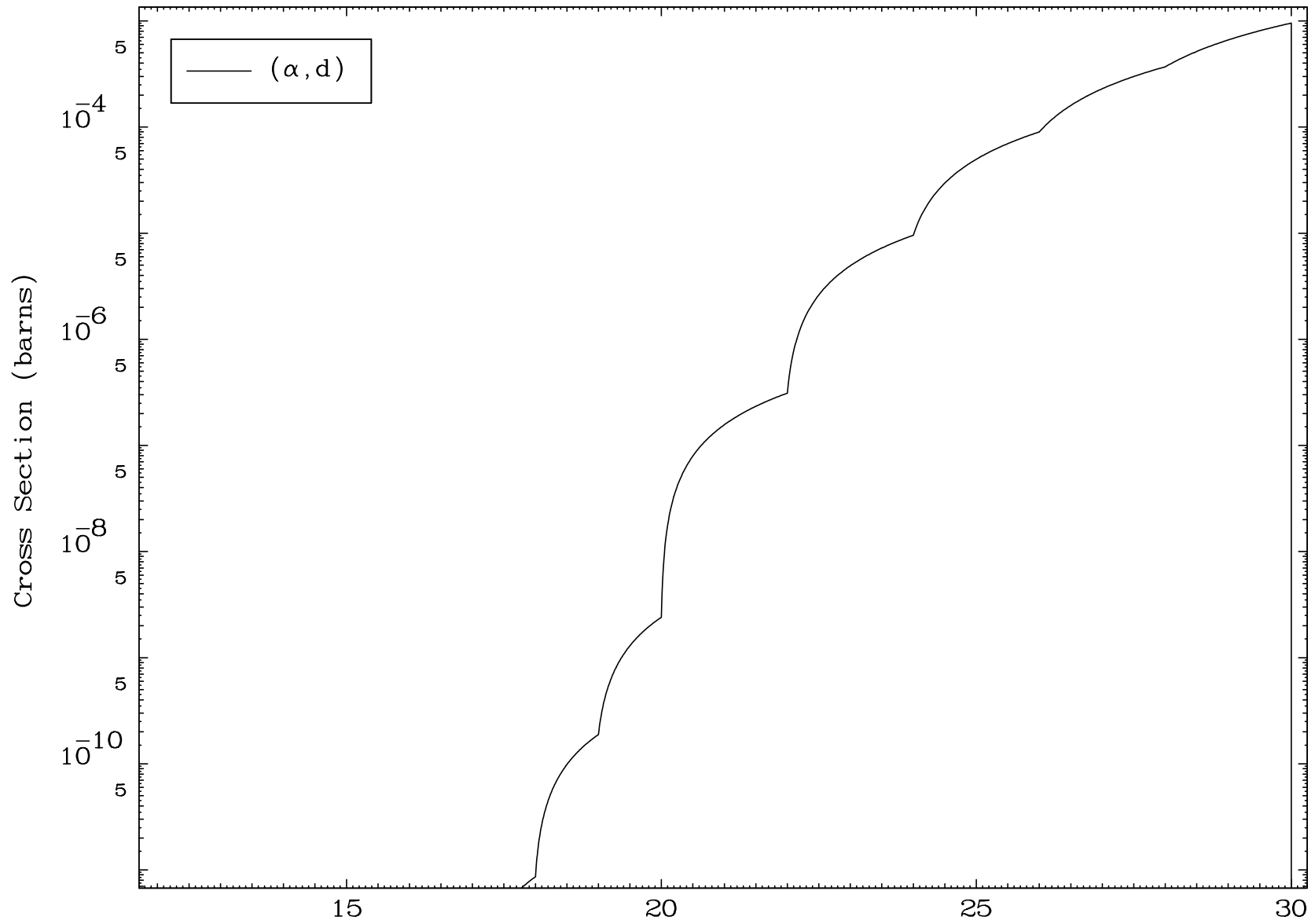


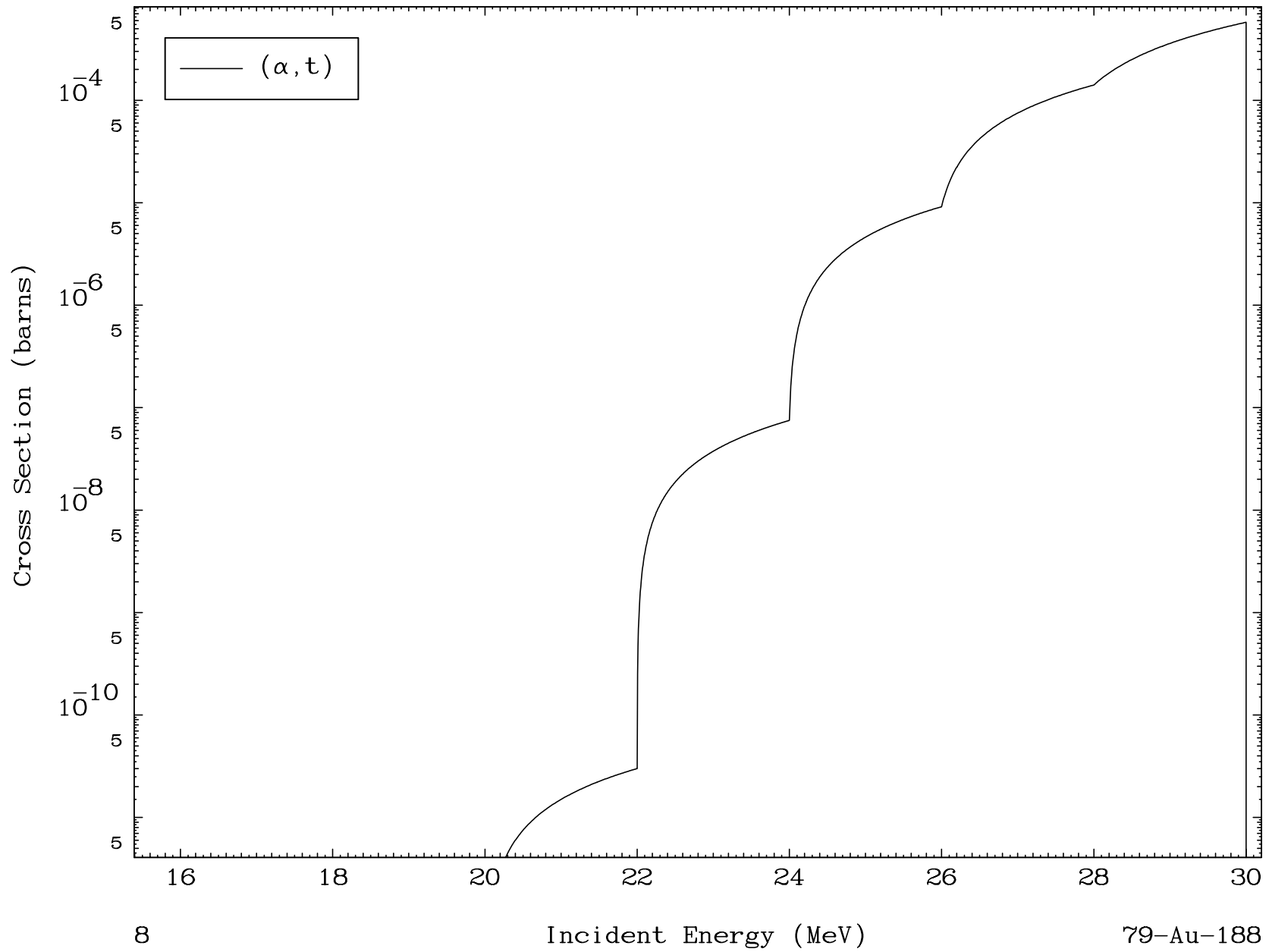
5

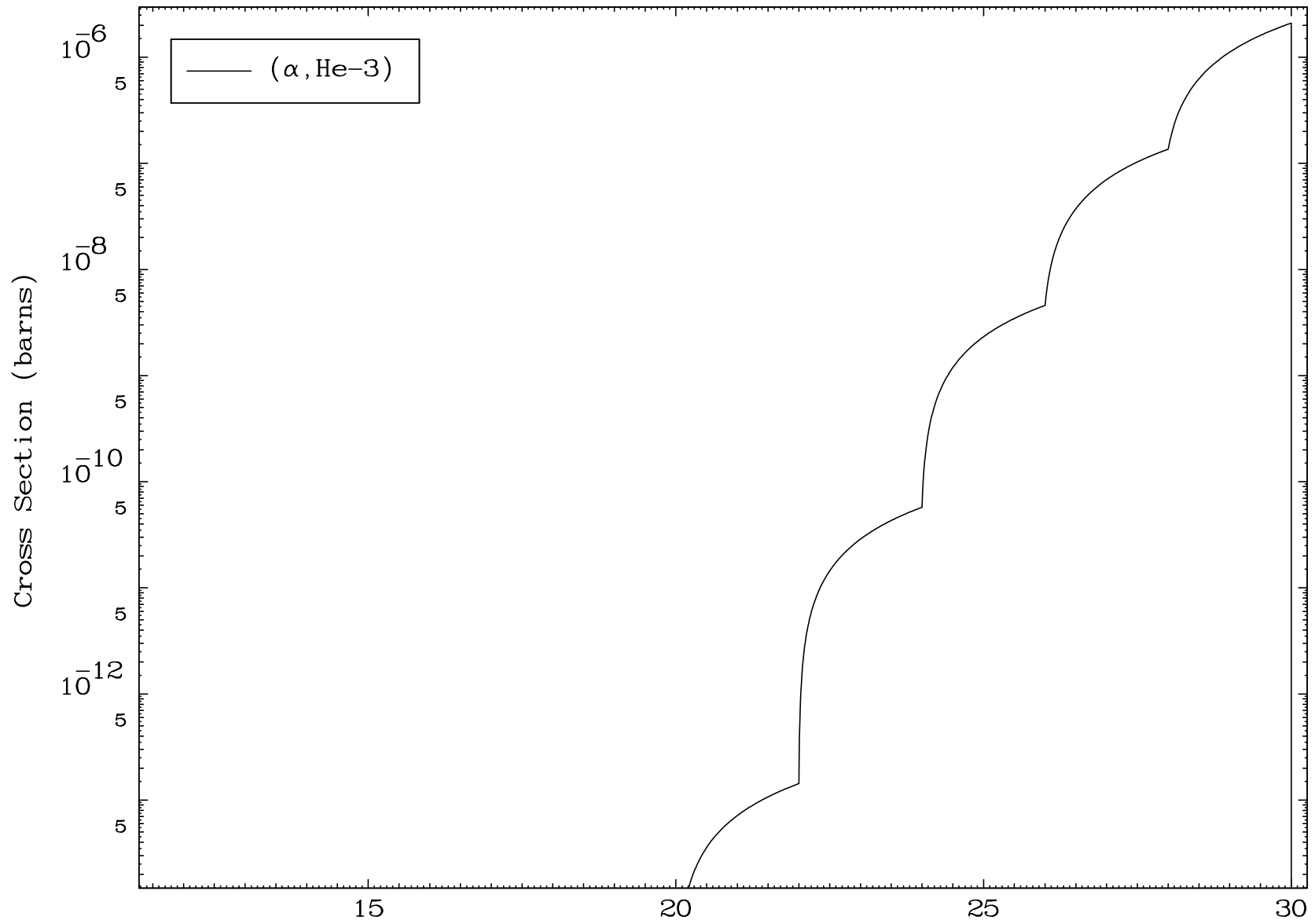
Incident Energy (MeV)

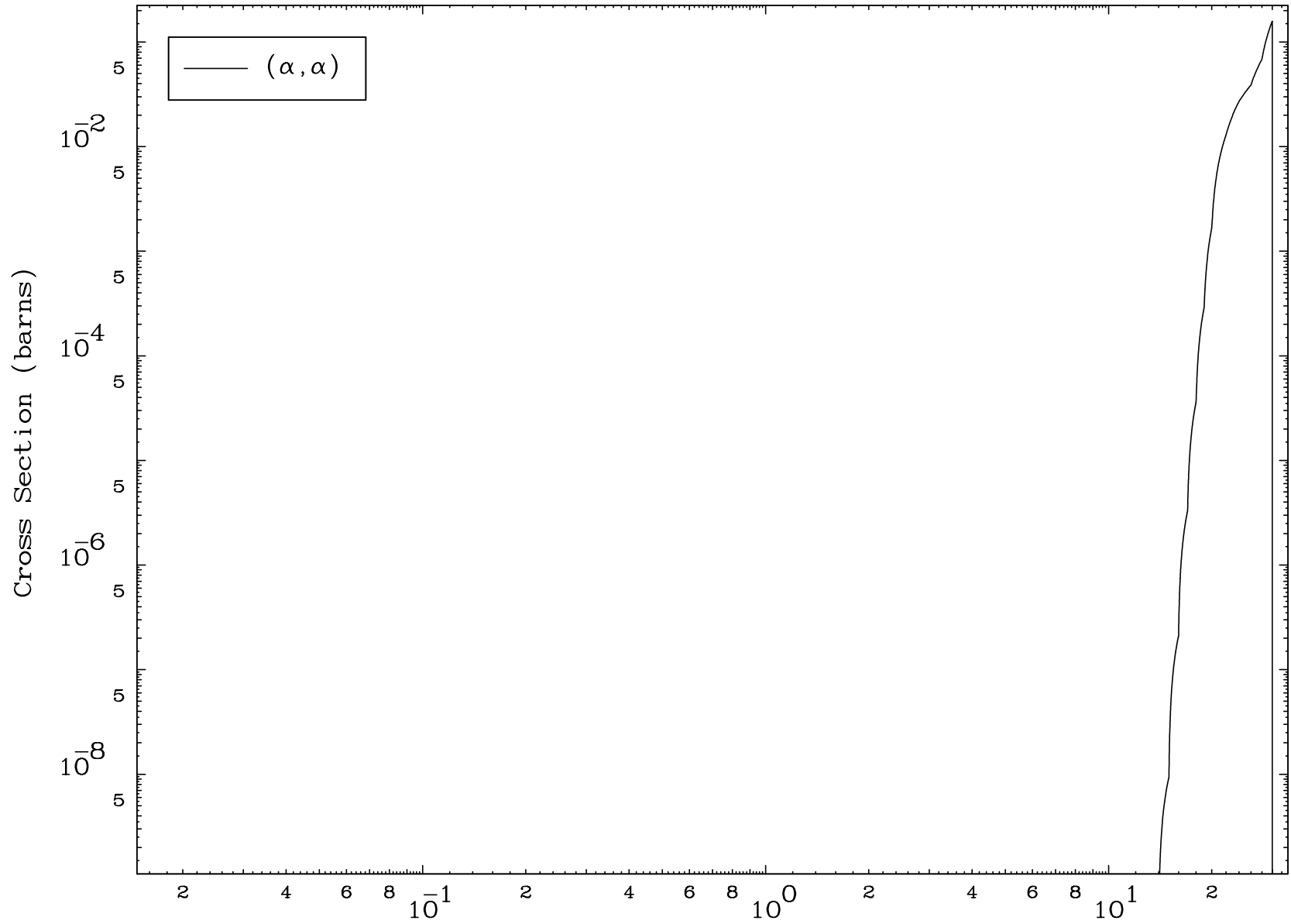
79-Au-188

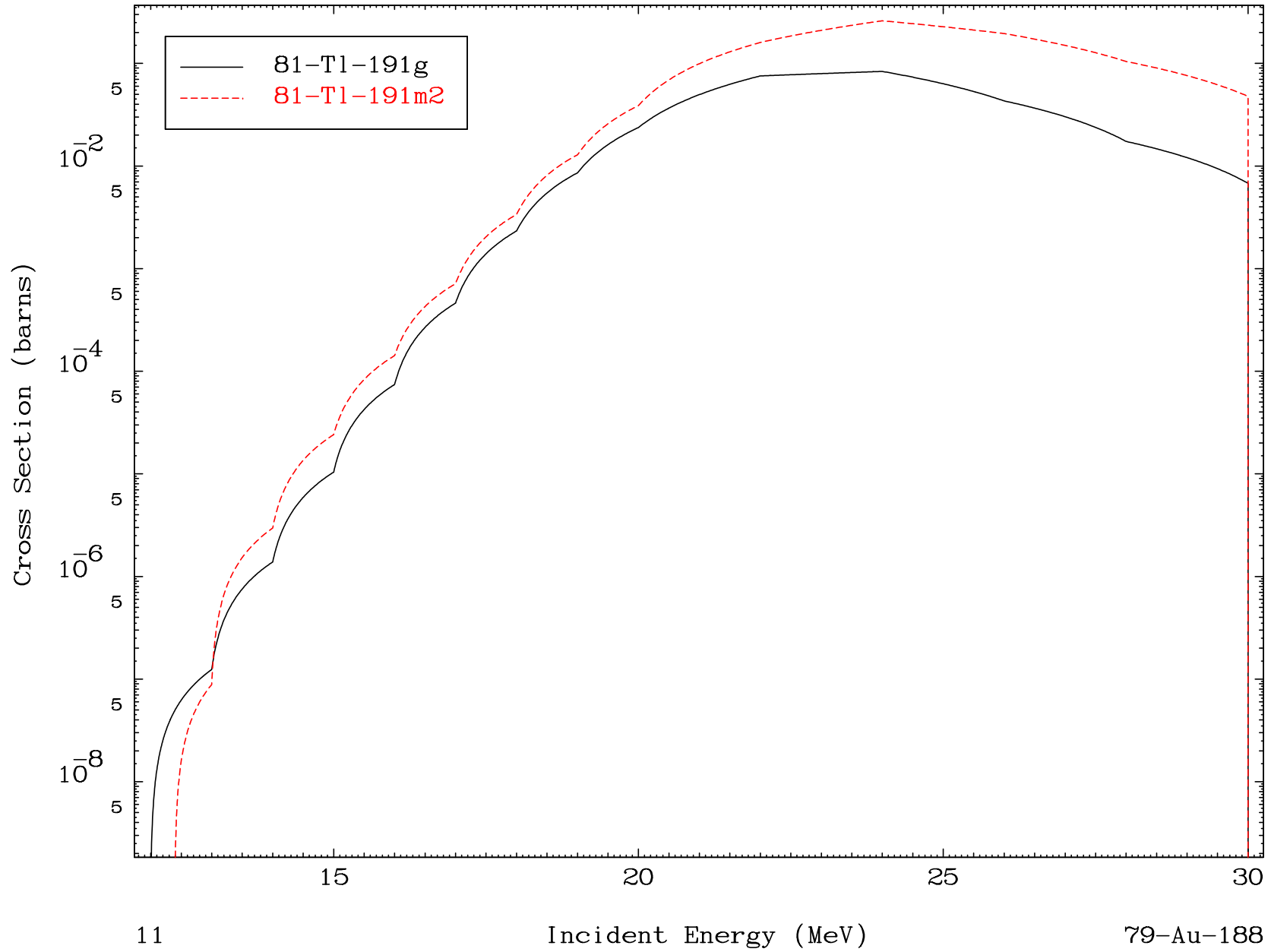




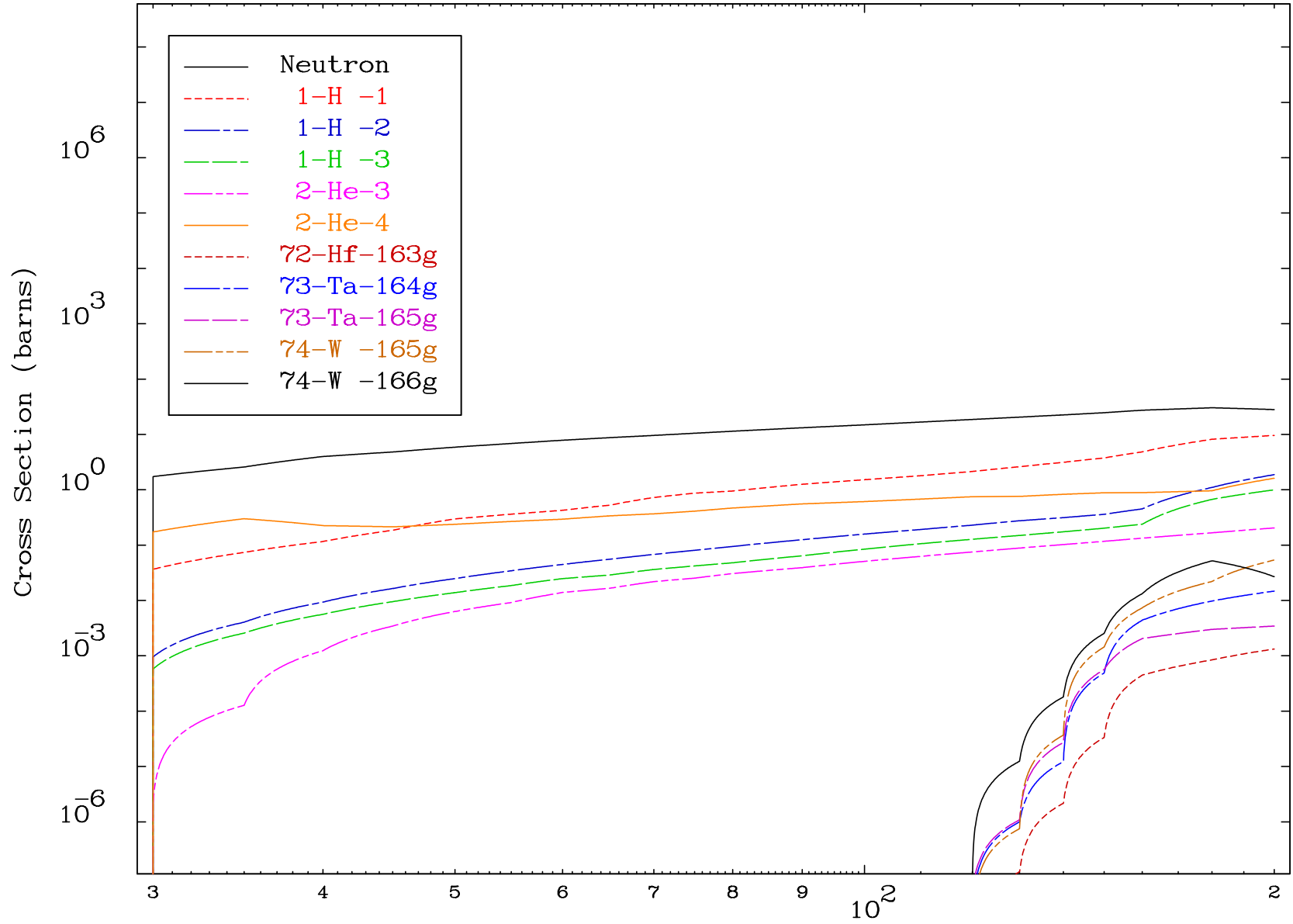


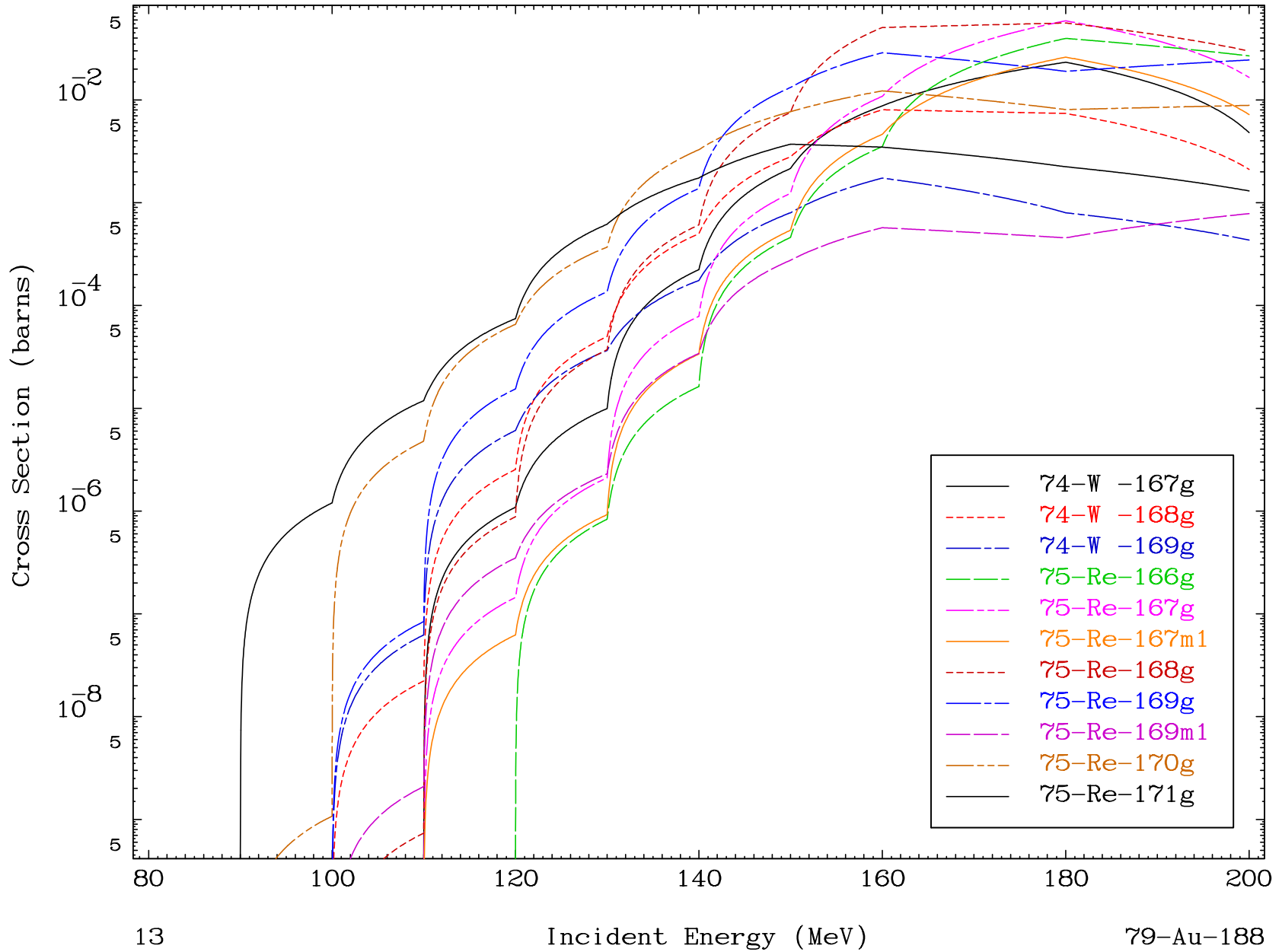


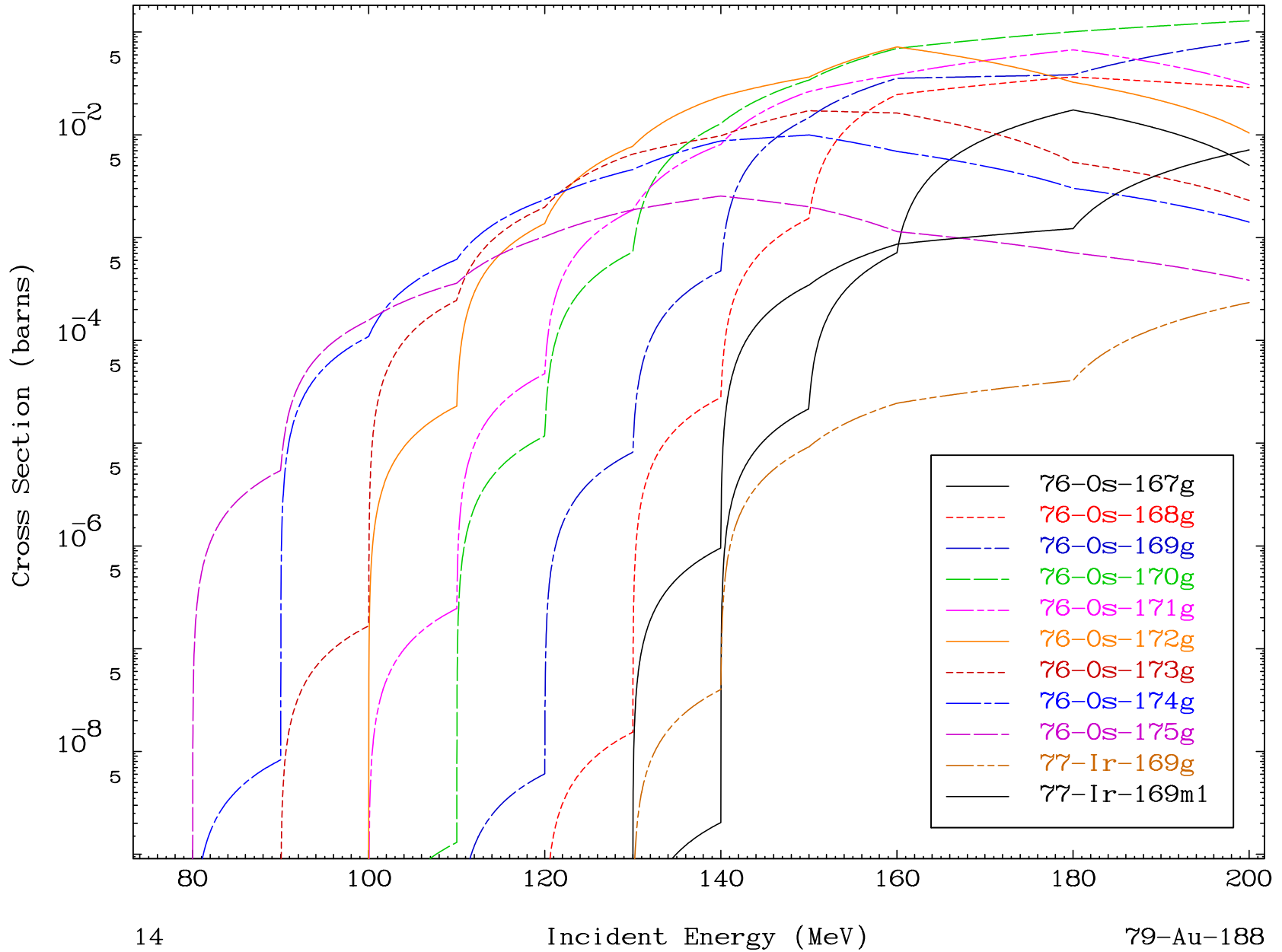




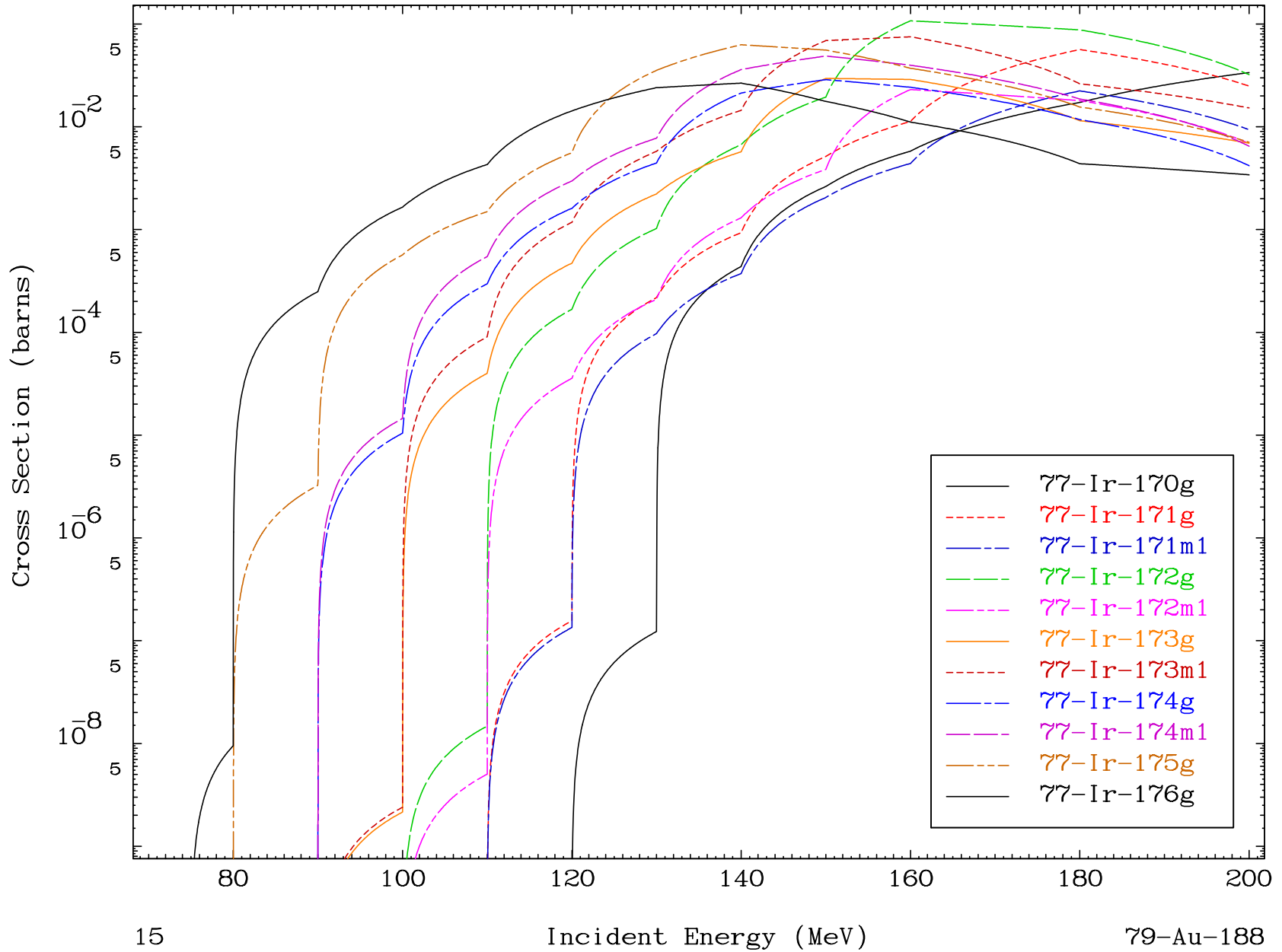
Radionuclide Production Cross Section



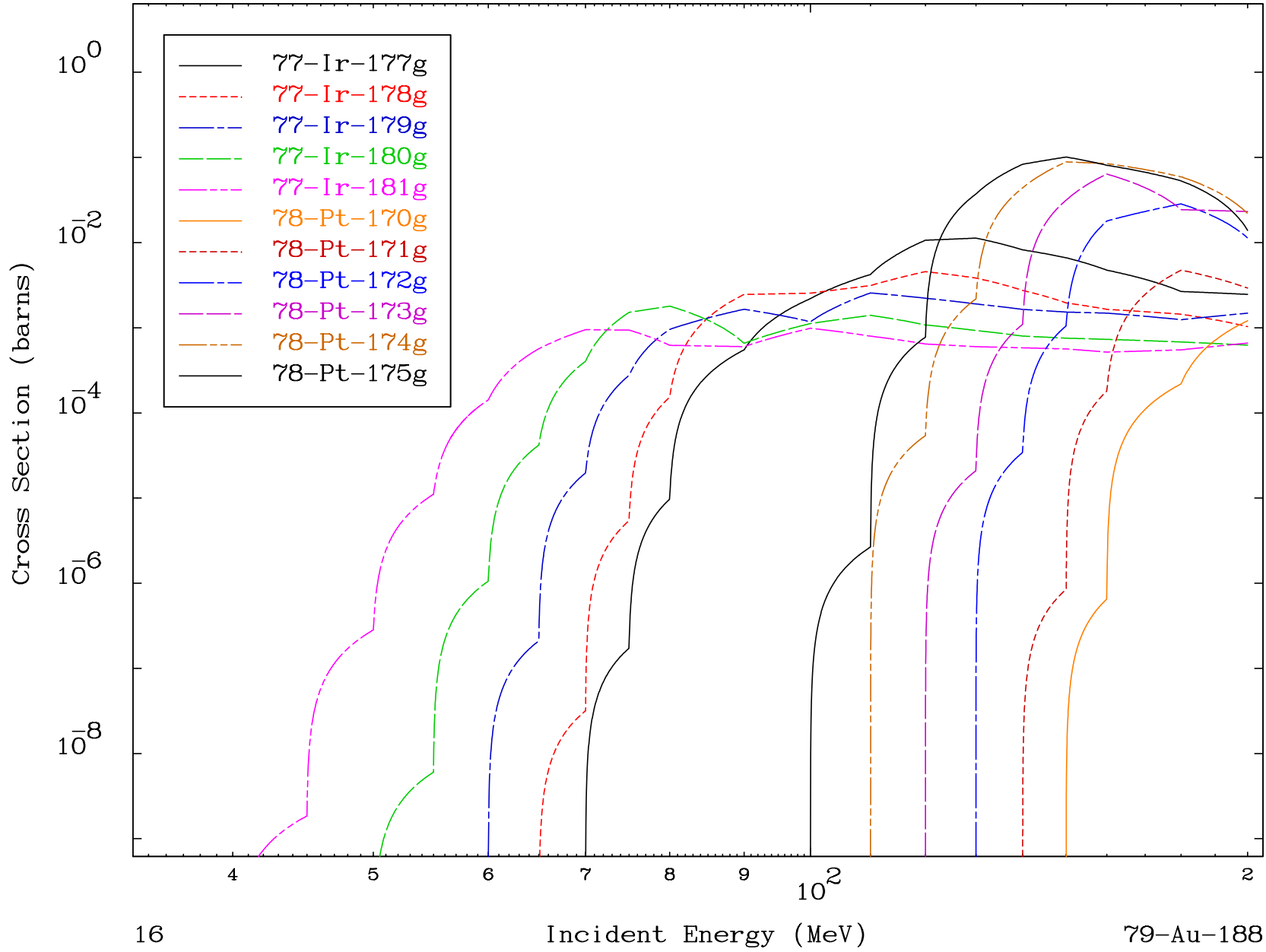




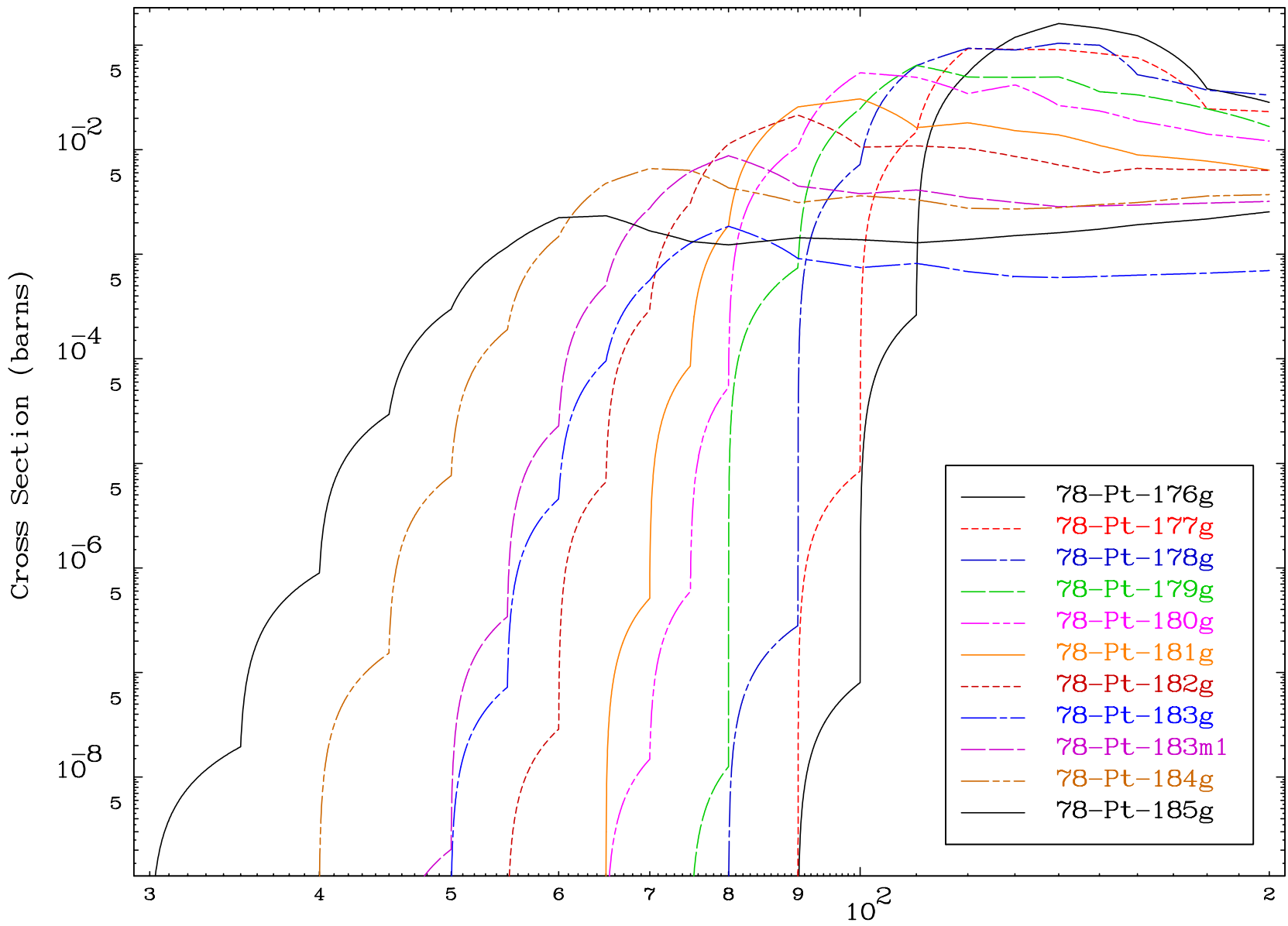
Radionuclide Production Cross Section



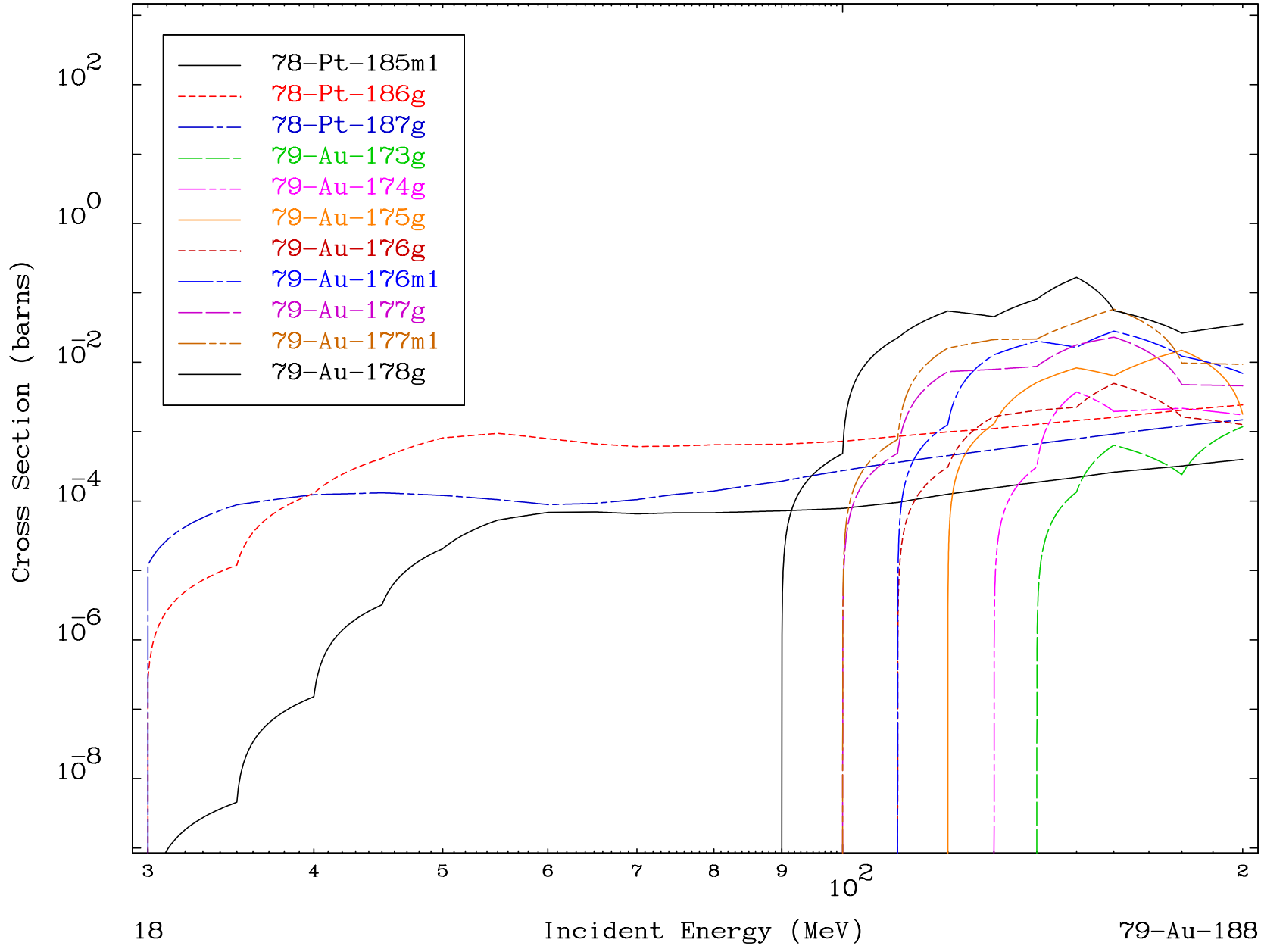
Radionuclide Production Cross Section

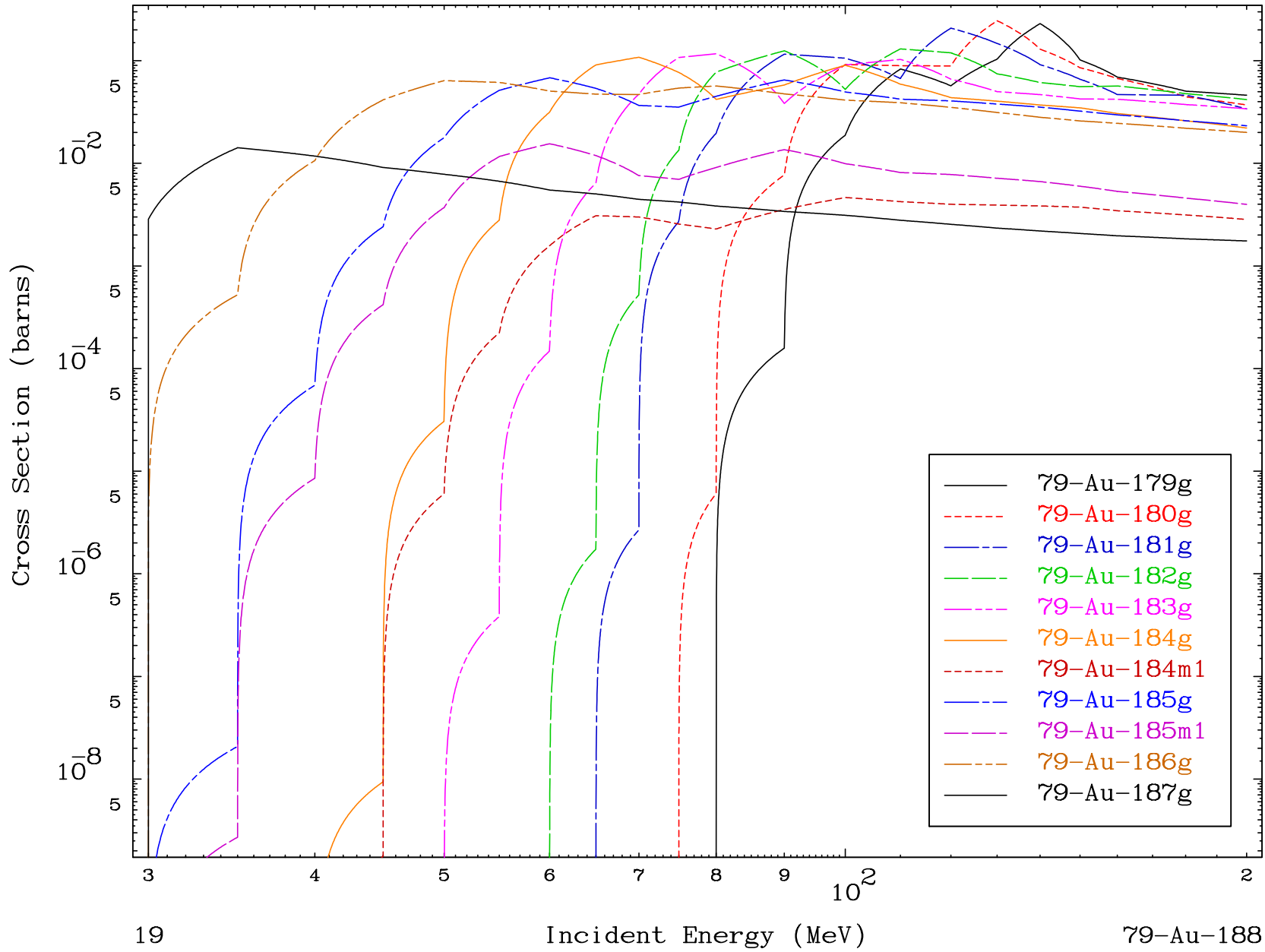


Radionuclide Production Cross Section

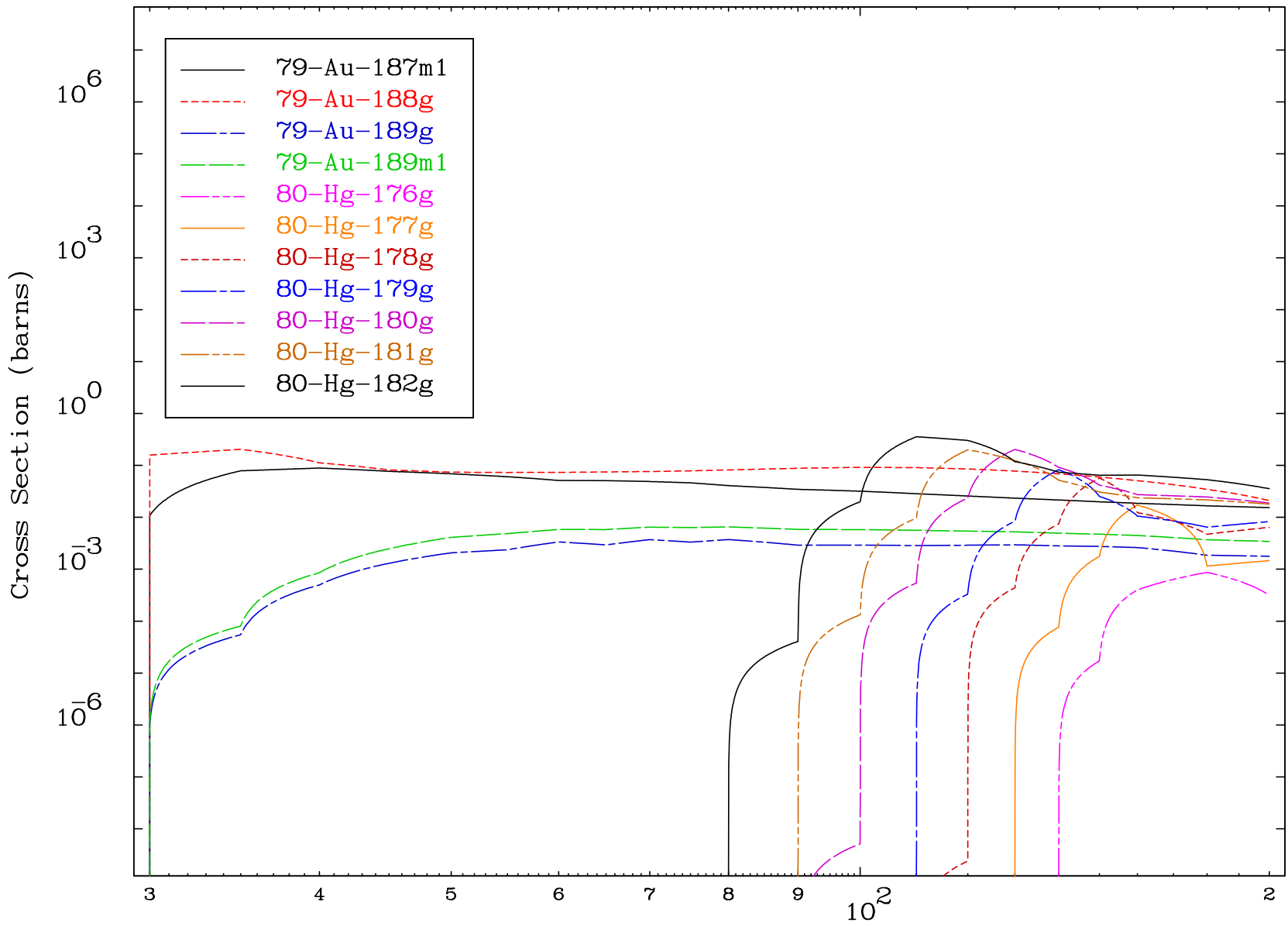


Radionuclide Production Cross Section

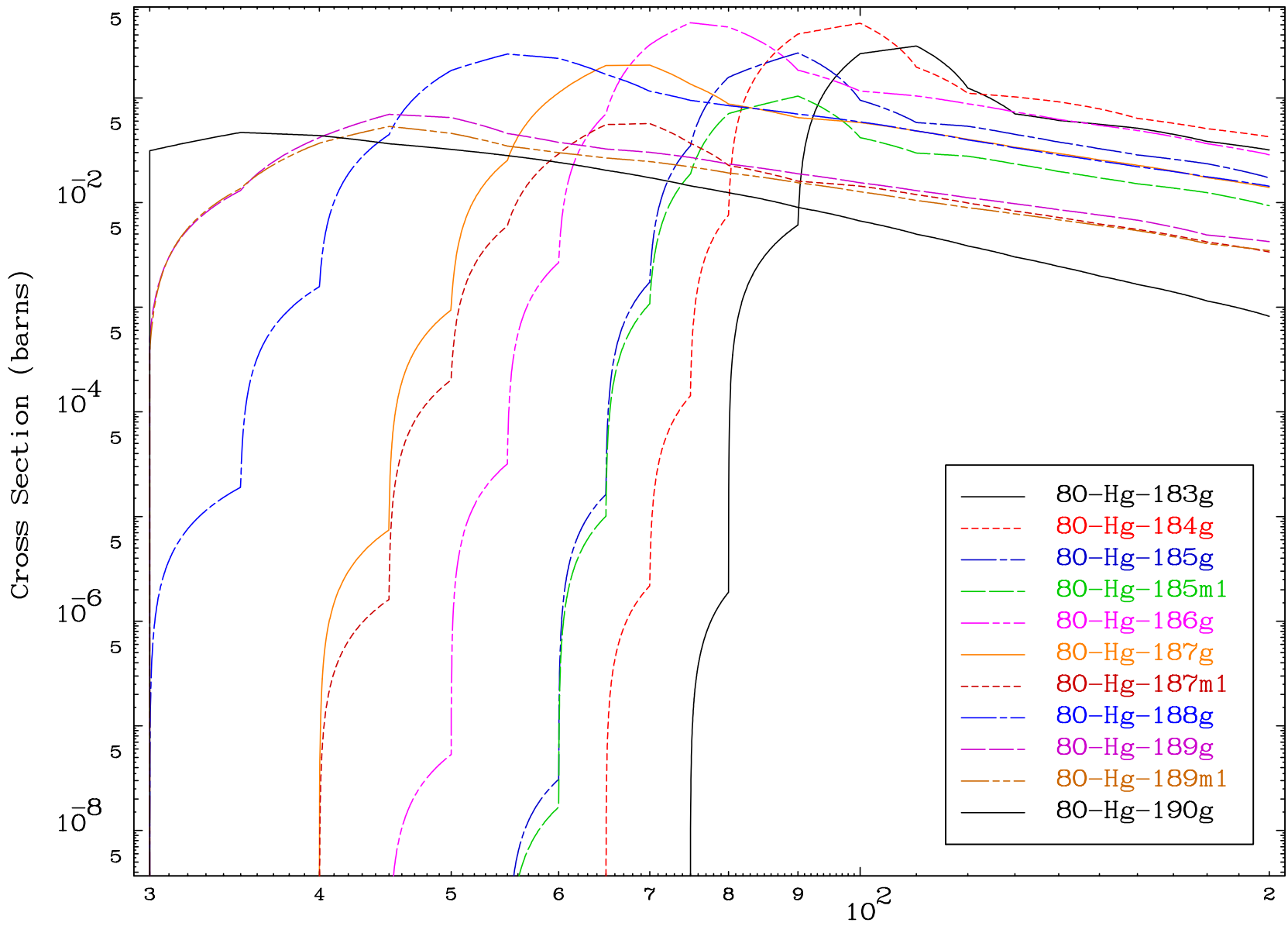


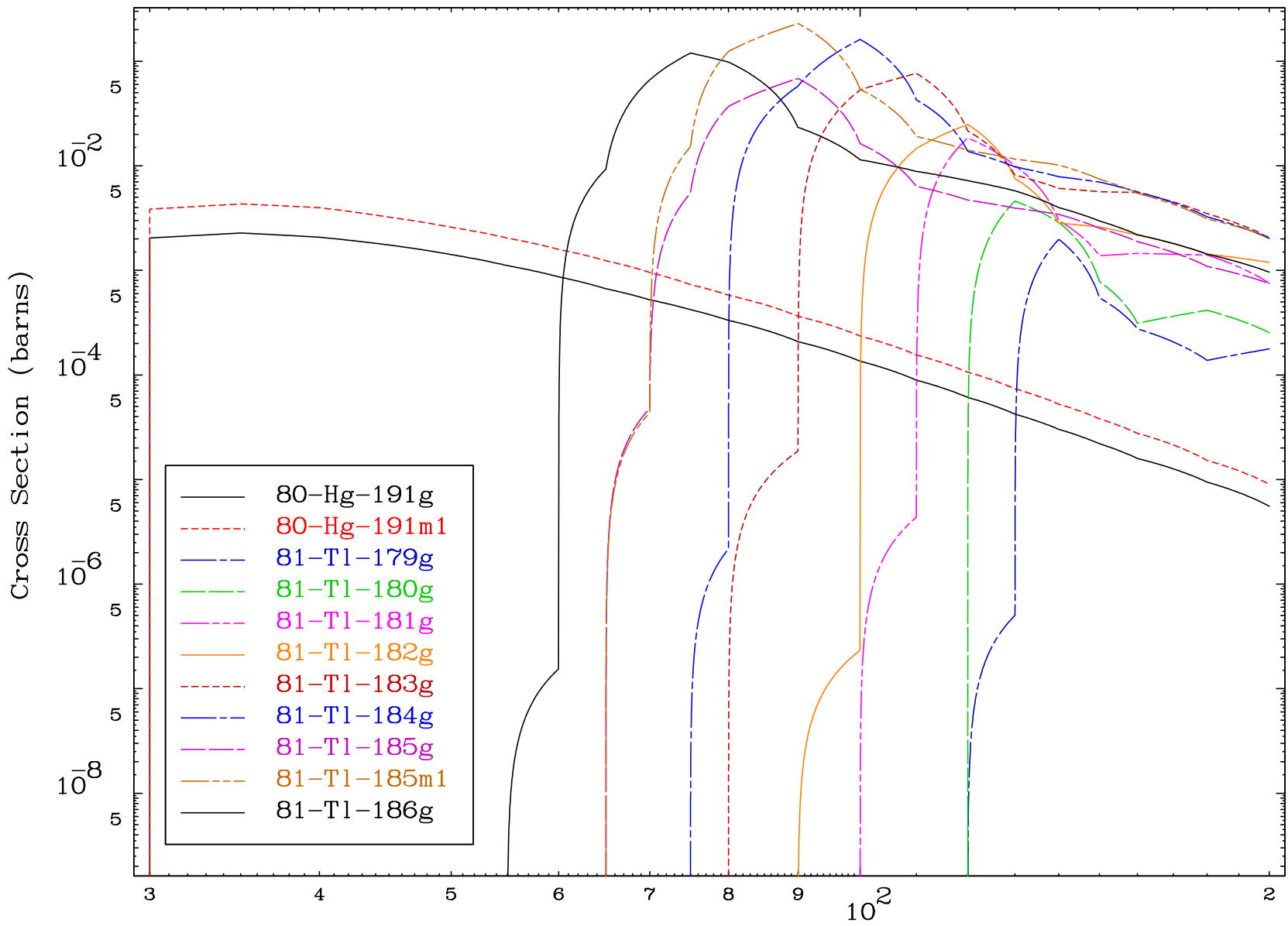


Radionuclide Production Cross Section

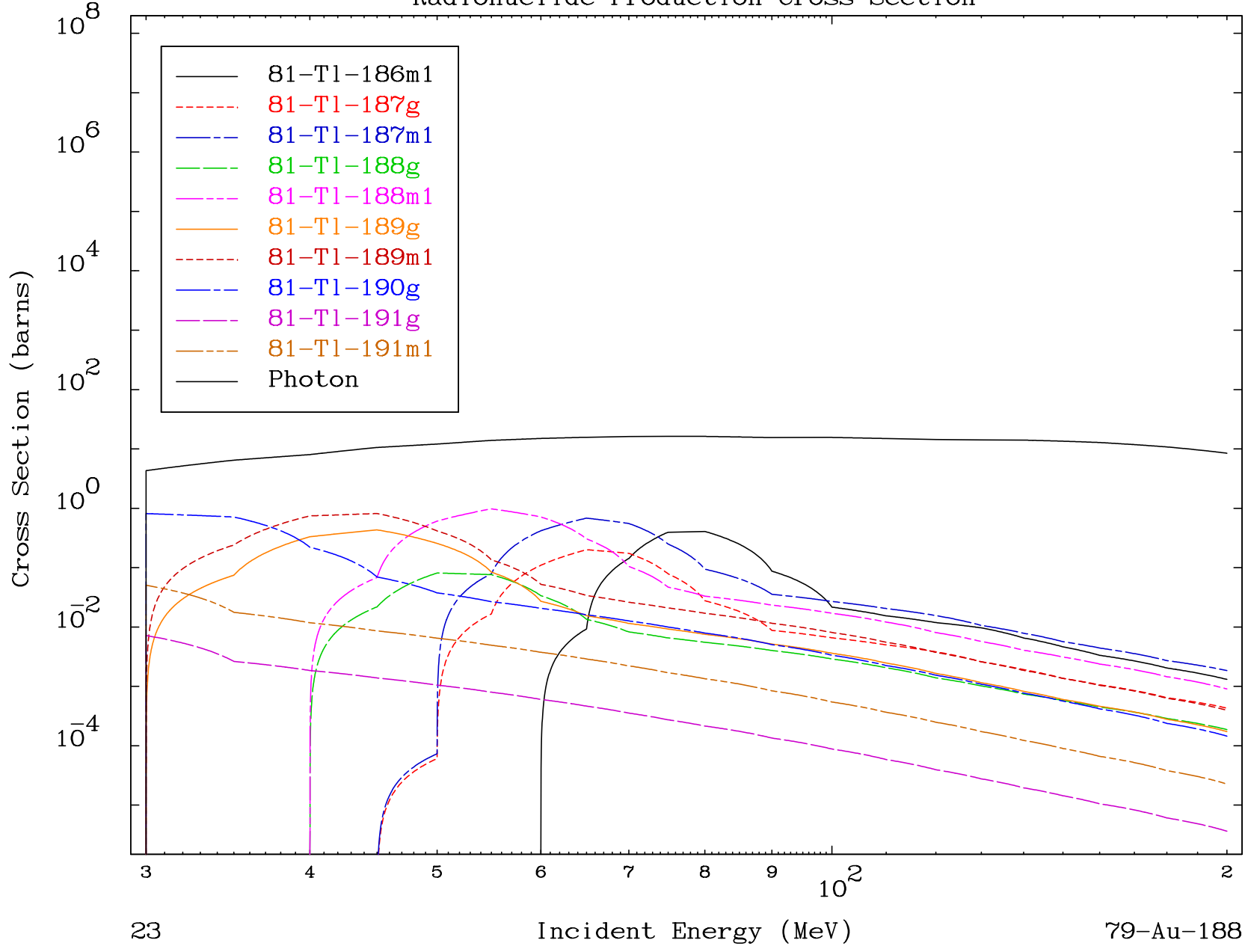


Radionuclide Production Cross Section





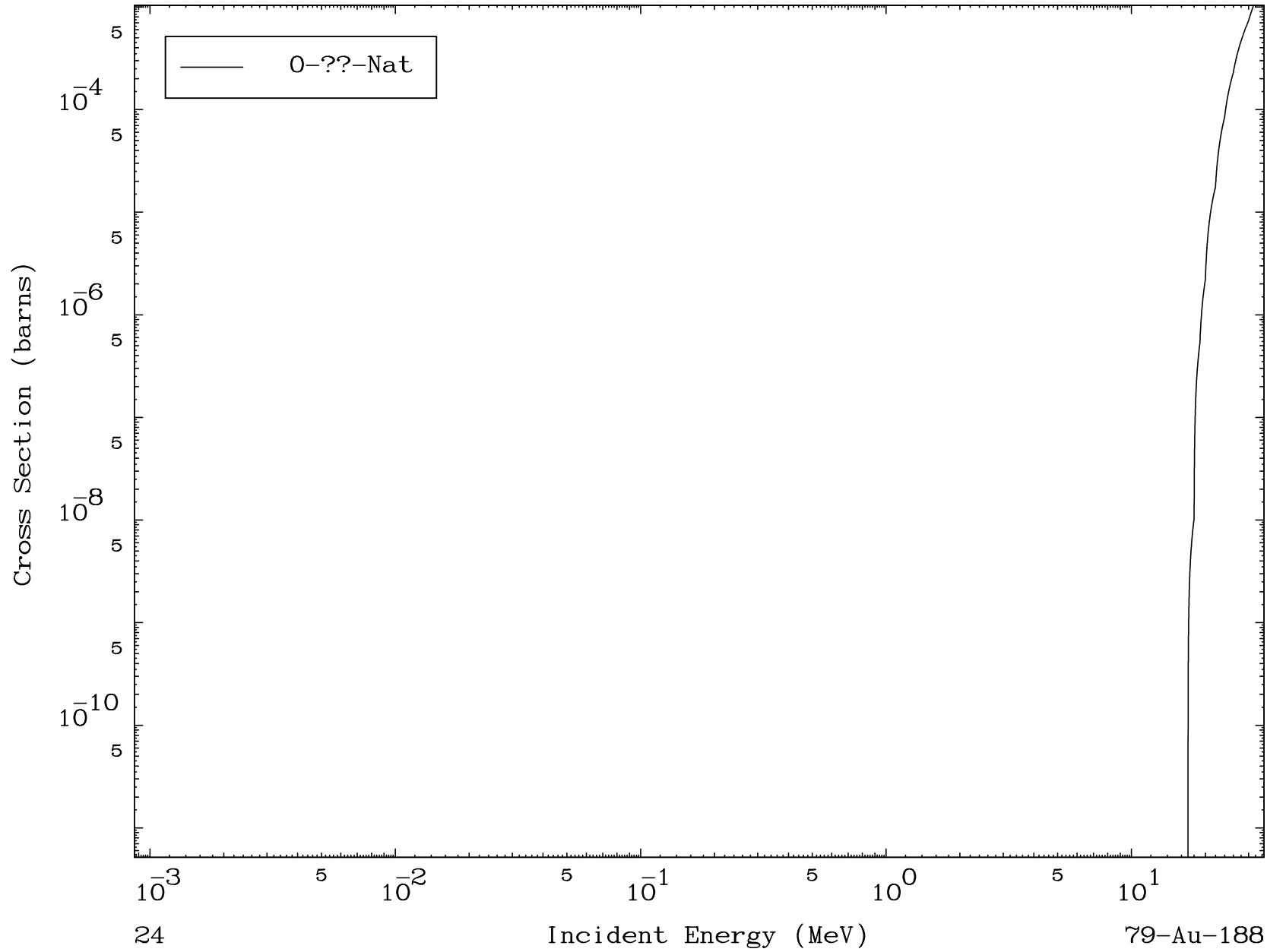
Radionuclide Production Cross Section



MAT 7898

α Fission
Radionuclide Production Cross Section

⁷⁹Au-188

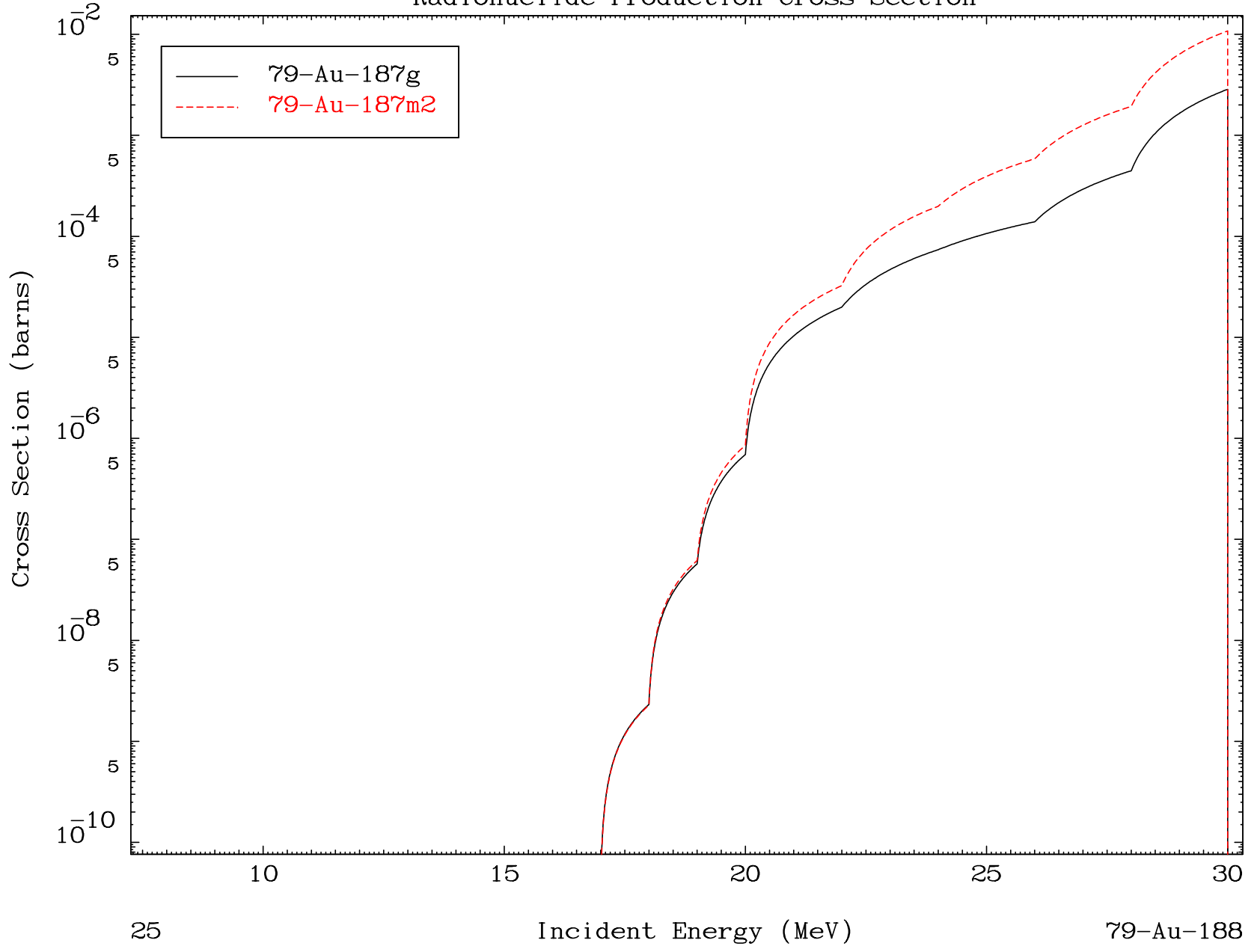


MAT 7898

(α, n') α

79-Au-188

Radionuclide Production Cross Section

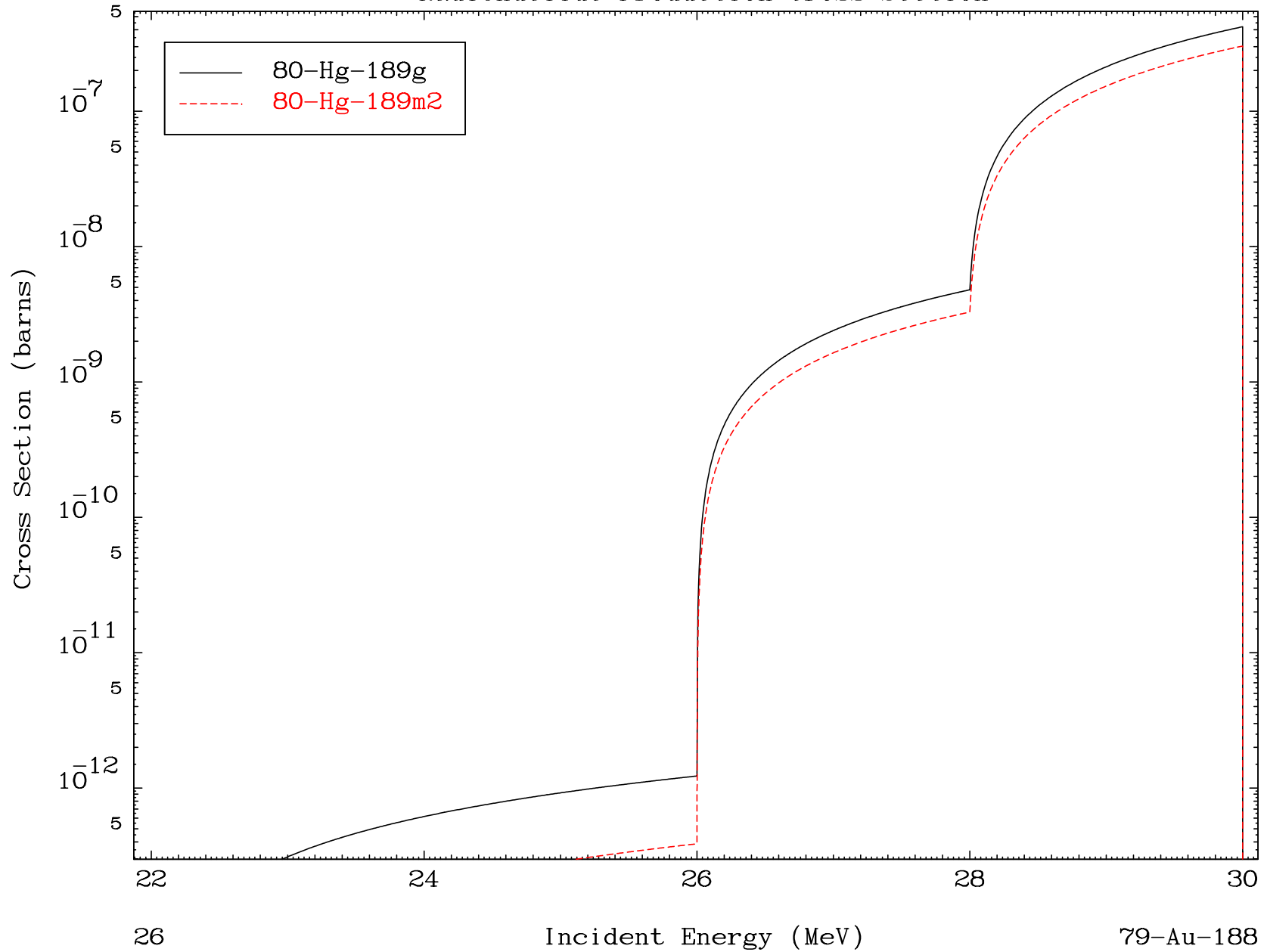


MAT 7898

(α, n') d

79-Au-188

Radionuclide Production Cross Section

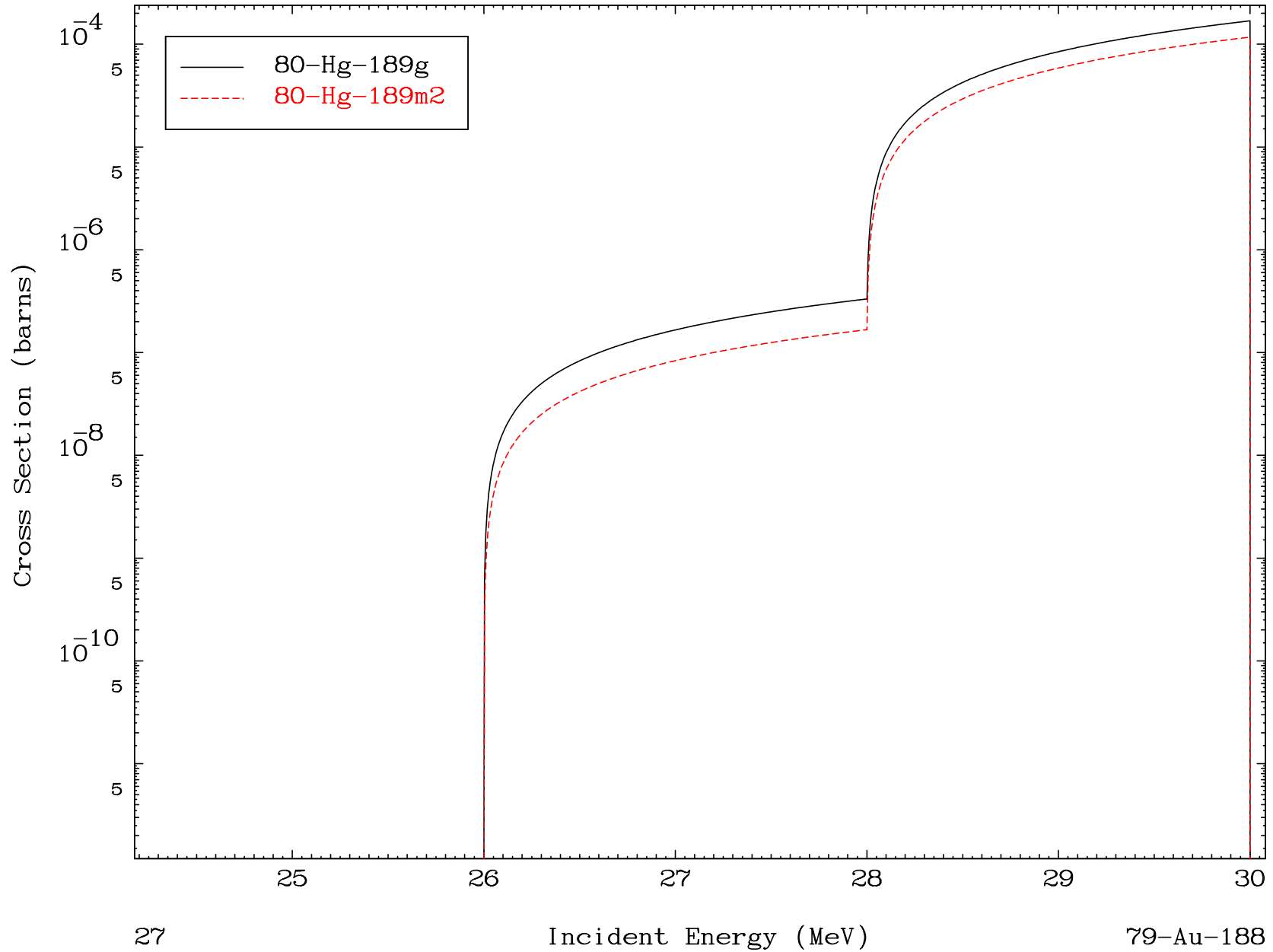


MAT 7898

($\alpha, 2n$) p

79-Au-188

Radionuclide Production Cross Section

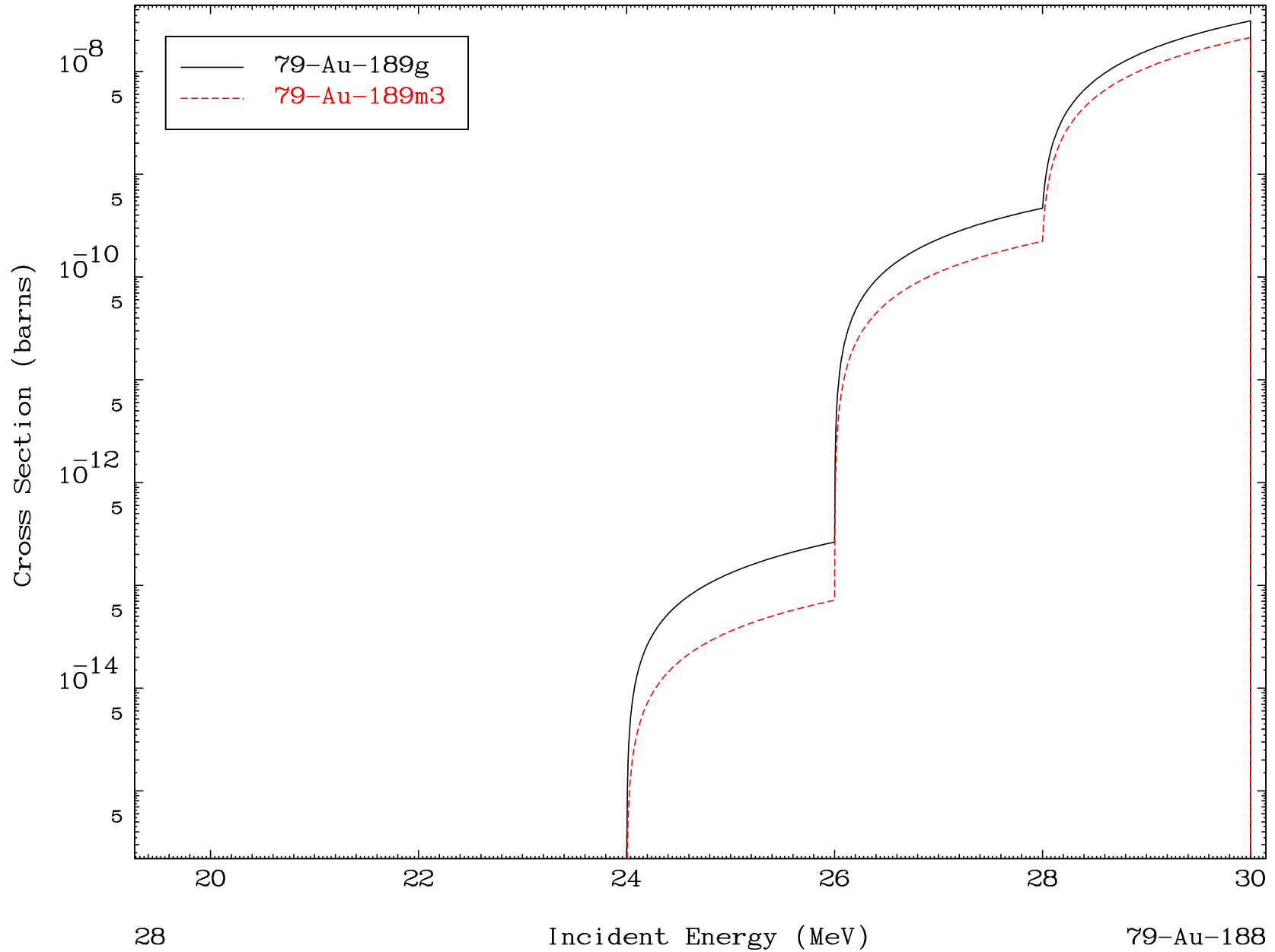


MAT 7898

($\alpha, 2n$) p

79-Au-188

Radionuclide Production Cross Section

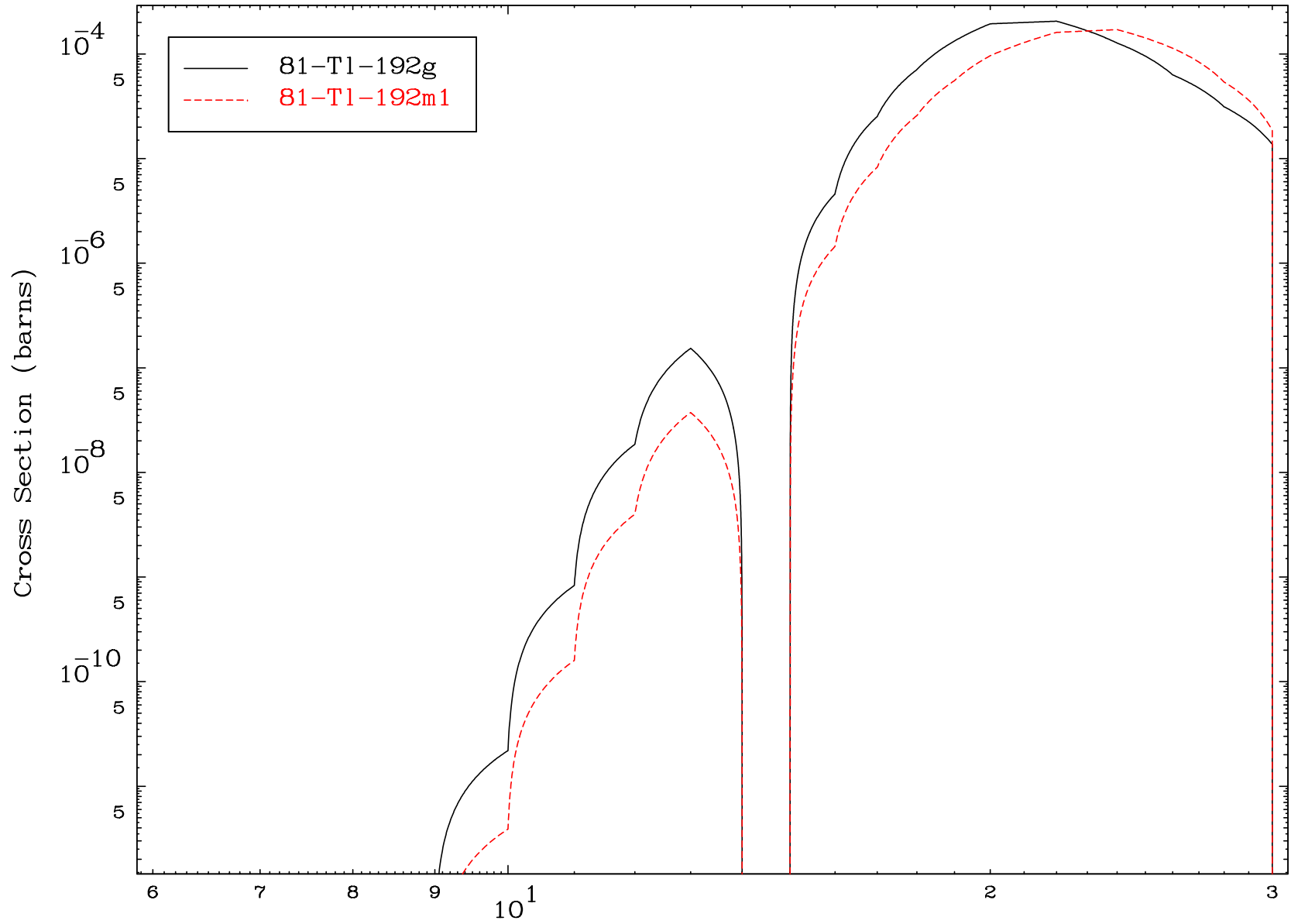


MAT 7898

(α, γ)

79-Au-188

Radionuclide Production Cross Section



29

Incident Energy (MeV)

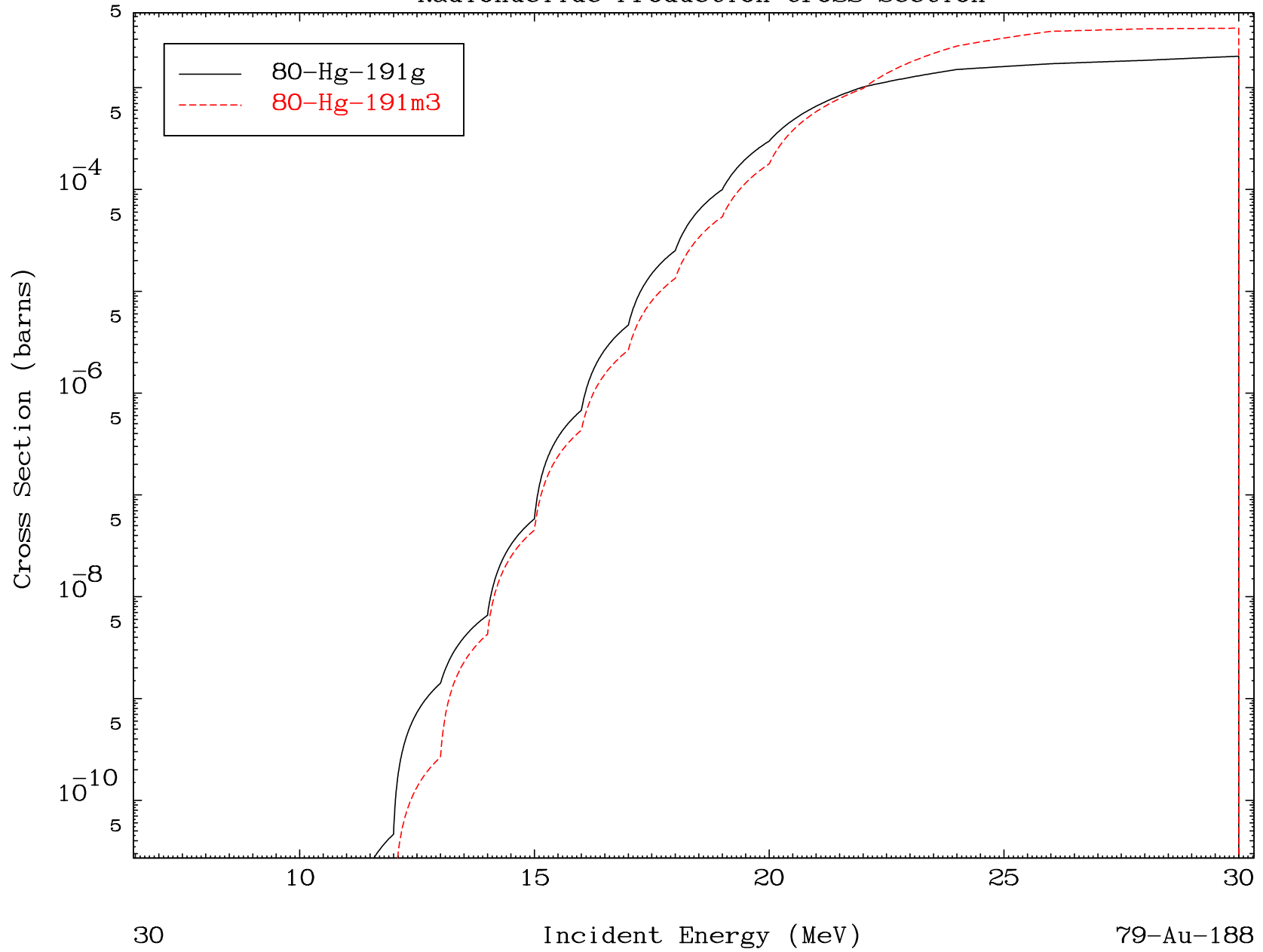
79-Au-188

MAT 7898

(α, p)

79-Au-188

Radionuclide Production Cross Section



30

Incident Energy (MeV)

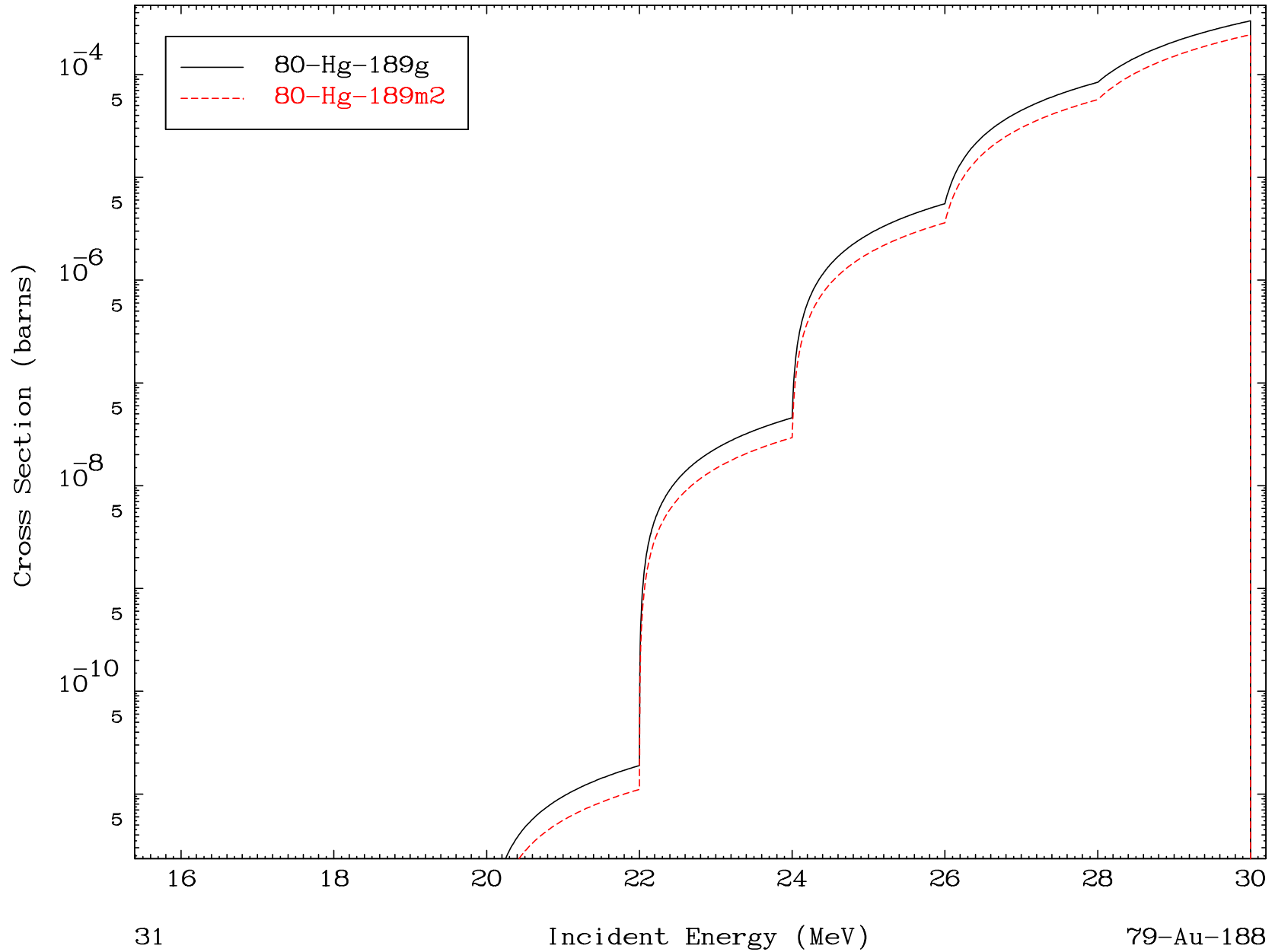
79-Au-188

MAT 7898

(α, t)

79-Au-188

Radionuclide Production Cross Section



31

Incident Energy (MeV)

79-Au-188

MAT 7898

($\alpha, \text{He-3}$)

⁷⁹Au-188

Radionuclide Production Cross Section

